

Starkniederschlagshöhen und -spenden gemäß KOSTRA-DWD-2020

Rasterfeld 113208

(Zeile 113, Spalte 208)

Regenspende und Bemessungsniederschlagswerte in Abhängigkeit von Wiederkehrzeit T und Dauerstufe D

| Dauerstufe D | | Wiederkehrzeit T | | | | | | | | | | | | | | | | | |
|--------------|-----|------------------|------------|------|------------|------|------------|------|------------|-------|------------|-------|------------|-------|------------|-------|------------|-------|------------|
| | | 1 a | | 2 a | | 3 a | | 5 a | | 10 a | | 20 a | | 30 a | | 50 a | | 100 a | |
| min | Std | mm | l / (s ha) | mm | l / (s ha) | mm | l / (s ha) | mm | l / (s ha) | mm | l / (s ha) | mm | l / (s ha) | mm | l / (s ha) | mm | l / (s ha) | mm | l / (s ha) |
| 5 | | 7,2 | 240,0 | 9,1 | 303,3 | 10,4 | 346,7 | 12,0 | 400,0 | 14,3 | 476,7 | 16,7 | 556,7 | 18,2 | 606,7 | 20,3 | 676,7 | 23,2 | 773,3 |
| 10 | | 9,2 | 153,3 | 11,7 | 195,0 | 13,3 | 221,7 | 15,4 | 256,7 | 18,3 | 305,0 | 21,4 | 356,7 | 23,4 | 390,0 | 26,0 | 433,3 | 29,8 | 496,7 |
| 15 | | 10,5 | 116,7 | 13,3 | 147,8 | 15,1 | 167,8 | 17,4 | 193,3 | 20,8 | 231,1 | 24,3 | 270,0 | 26,5 | 294,4 | 29,5 | 327,8 | 33,8 | 375,6 |
| 20 | | 11,4 | 95,0 | 14,5 | 120,8 | 16,4 | 136,7 | 18,9 | 157,5 | 22,6 | 188,3 | 26,4 | 220,0 | 28,8 | 240,0 | 32,1 | 267,5 | 36,7 | 305,8 |
| 30 | | 12,7 | 70,6 | 16,2 | 90,0 | 18,3 | 101,7 | 21,2 | 117,8 | 25,3 | 140,6 | 29,5 | 163,9 | 32,2 | 178,9 | 35,8 | 198,9 | 41,0 | 227,8 |
| 45 | | 14,1 | 52,2 | 18,0 | 66,7 | 20,4 | 75,6 | 23,5 | 87,0 | 28,1 | 104,1 | 32,7 | 121,1 | 35,8 | 132,6 | 39,8 | 147,4 | 45,6 | 168,9 |
| 60 | 1 | 15,2 | 42,2 | 19,3 | 53,6 | 21,9 | 60,8 | 25,3 | 70,3 | 30,2 | 83,9 | 35,2 | 97,8 | 38,5 | 106,9 | 42,8 | 118,9 | 49,0 | 136,1 |
| 90 | 1,5 | 16,8 | 31,1 | 21,4 | 39,6 | 24,2 | 44,8 | 28,0 | 51,9 | 33,4 | 61,9 | 38,9 | 72,0 | 42,6 | 78,9 | 47,3 | 87,6 | 54,2 | 100,4 |
| 120 | 2 | 18,0 | 25,0 | 22,9 | 31,8 | 26,0 | 36,1 | 30,0 | 41,7 | 35,8 | 49,7 | 41,7 | 57,9 | 45,6 | 63,3 | 50,7 | 70,4 | 58,1 | 80,7 |
| 180 | 3 | 19,8 | 18,3 | 25,3 | 23,4 | 28,6 | 26,5 | 33,0 | 30,6 | 39,4 | 36,5 | 46,0 | 42,6 | 50,3 | 46,6 | 55,9 | 51,8 | 64,0 | 59,3 |
| 240 | 4 | 21,2 | 14,7 | 27,0 | 18,8 | 30,6 | 21,3 | 35,4 | 24,6 | 42,2 | 29,3 | 49,2 | 34,2 | 53,8 | 37,4 | 59,9 | 41,6 | 68,5 | 47,6 |
| 360 | 6 | 23,3 | 10,8 | 29,7 | 13,8 | 33,7 | 15,6 | 38,9 | 18,0 | 46,4 | 21,5 | 54,2 | 25,1 | 59,2 | 27,4 | 65,9 | 30,5 | 75,4 | 34,9 |
| 540 | 9 | 25,7 | 7,9 | 32,7 | 10,1 | 37,1 | 11,5 | 42,8 | 13,2 | 51,1 | 15,8 | 59,6 | 18,4 | 65,1 | 20,1 | 72,4 | 22,3 | 82,9 | 25,6 |
| 720 | 12 | 27,5 | 6,4 | 35,0 | 8,1 | 39,7 | 9,2 | 45,8 | 10,6 | 54,6 | 12,6 | 63,7 | 14,7 | 69,7 | 16,1 | 77,5 | 17,9 | 88,7 | 20,5 |
| 1080 | 18 | 30,2 | 4,7 | 38,5 | 5,9 | 43,6 | 6,7 | 50,3 | 7,8 | 60,0 | 9,3 | 70,0 | 10,8 | 76,6 | 11,8 | 85,2 | 13,1 | 97,5 | 15,0 |
| 1440 | 24 | 32,3 | 3,7 | 41,1 | 4,8 | 46,6 | 5,4 | 53,8 | 6,2 | 64,2 | 7,4 | 74,9 | 8,7 | 81,9 | 9,5 | 91,1 | 10,5 | 104,2 | 12,1 |
| 2880 | 48 | 37,9 | 2,2 | 48,3 | 2,8 | 54,8 | 3,2 | 63,2 | 3,7 | 75,4 | 4,4 | 88,0 | 5,1 | 96,2 | 5,6 | 107,0 | 6,2 | 122,4 | 7,1 |
| 4320 | 72 | 41,7 | 1,6 | 53,1 | 2,0 | 60,2 | 2,3 | 69,5 | 2,7 | 82,9 | 3,2 | 96,7 | 3,7 | 105,7 | 4,1 | 117,6 | 4,5 | 134,5 | 5,2 |
| 5760 | 96 | 44,5 | 1,3 | 56,8 | 1,6 | 64,3 | 1,9 | 74,3 | 2,1 | 88,6 | 2,6 | 103,3 | 3,0 | 113,0 | 3,3 | 125,7 | 3,6 | 143,8 | 4,2 |
| 7200 | 120 | 46,9 | 1,1 | 59,8 | 1,4 | 67,7 | 1,6 | 78,2 | 1,8 | 93,3 | 2,2 | 108,8 | 2,5 | 119,0 | 2,8 | 132,4 | 3,1 | 151,5 | 3,5 |
| 8640 | 144 | 48,9 | 0,9 | 62,4 | 1,2 | 70,7 | 1,4 | 81,6 | 1,6 | 97,3 | 1,9 | 113,6 | 2,2 | 124,2 | 2,4 | 138,1 | 2,7 | 158,0 | 3,0 |
| 10080 | 168 | 50,7 | 0,8 | 64,6 | 1,1 | 73,3 | 1,2 | 84,6 | 1,4 | 100,9 | 1,7 | 117,7 | 1,9 | 128,7 | 2,1 | 143,1 | 2,4 | 163,8 | 2,7 |

Starkniederschlagshöhen und -spenden gemäß KOSTRA-DWD-2020

Rasterfeld 113208

(Zeile 113, Spalte 208)

Örtliche Unsicherheiten in Abhängigkeit von Wiederkehrzeit T und Dauerstufe D

| Dauerstufe D | | Wiederkehrzeit T | | | | | | | | |
|--------------|-----|------------------|-----|-----|-----|------|------|------|------|-------|
| | | 1 a | 2 a | 3 a | 5 a | 10 a | 20 a | 30 a | 50 a | 100 a |
| min | Std | ± % | ± % | ± % | ± % | ± % | ± % | ± % | ± % | ± % |
| 5 | | 13 | 14 | 15 | 16 | 17 | 17 | 18 | 18 | 19 |
| 10 | | 15 | 17 | 18 | 19 | 21 | 22 | 22 | 23 | 23 |
| 15 | | 16 | 19 | 20 | 21 | 23 | 24 | 24 | 25 | 25 |
| 20 | | 17 | 20 | 21 | 22 | 24 | 25 | 25 | 26 | 27 |
| 30 | | 18 | 21 | 22 | 23 | 25 | 26 | 27 | 27 | 28 |
| 45 | | 18 | 21 | 22 | 24 | 25 | 26 | 27 | 27 | 28 |
| 60 | 1 | 18 | 21 | 22 | 23 | 25 | 26 | 27 | 27 | 28 |
| 90 | 1,5 | 17 | 20 | 21 | 23 | 24 | 25 | 26 | 27 | 27 |
| 120 | 2 | 17 | 19 | 21 | 22 | 24 | 25 | 25 | 26 | 27 |
| 180 | 3 | 16 | 18 | 20 | 21 | 22 | 24 | 24 | 25 | 25 |
| 240 | 4 | 15 | 18 | 19 | 20 | 22 | 23 | 23 | 24 | 25 |
| 360 | 6 | 14 | 17 | 18 | 19 | 21 | 22 | 22 | 23 | 23 |
| 540 | 9 | 14 | 16 | 17 | 18 | 19 | 20 | 21 | 22 | 22 |
| 720 | 12 | 14 | 15 | 16 | 18 | 19 | 20 | 20 | 21 | 21 |
| 1080 | 18 | 14 | 15 | 16 | 17 | 18 | 19 | 19 | 20 | 20 |
| 1440 | 24 | 14 | 15 | 16 | 17 | 18 | 18 | 19 | 19 | 20 |
| 2880 | 48 | 16 | 16 | 16 | 17 | 17 | 18 | 18 | 19 | 19 |
| 4320 | 72 | 17 | 17 | 17 | 17 | 18 | 18 | 18 | 19 | 19 |
| 5760 | 96 | 19 | 18 | 18 | 18 | 18 | 19 | 19 | 19 | 19 |
| 7200 | 120 | 20 | 19 | 19 | 19 | 19 | 19 | 19 | 19 | 20 |
| 8640 | 144 | 21 | 20 | 19 | 19 | 20 | 20 | 20 | 20 | 20 |
| 10080 | 168 | 21 | 20 | 20 | 20 | 20 | 20 | 20 | 20 | 20 |

Parameter für abweichende T und D

Lokationsparameter ξ (Xi)

15,46198056

Skalenparameter α (Alpha)

5,89353063

Formparameter κ (Kappa)

-0,1

1. Koutsoyiannis-Parameter θ (Theta)

0,02336532

2. Koutsoyiannis-Parameter η (Eta)

0,76796191

Parameter für dauerstufenübergreifende Extremwertschätzung nach KOUTSOYIANNIS et al. 1998.

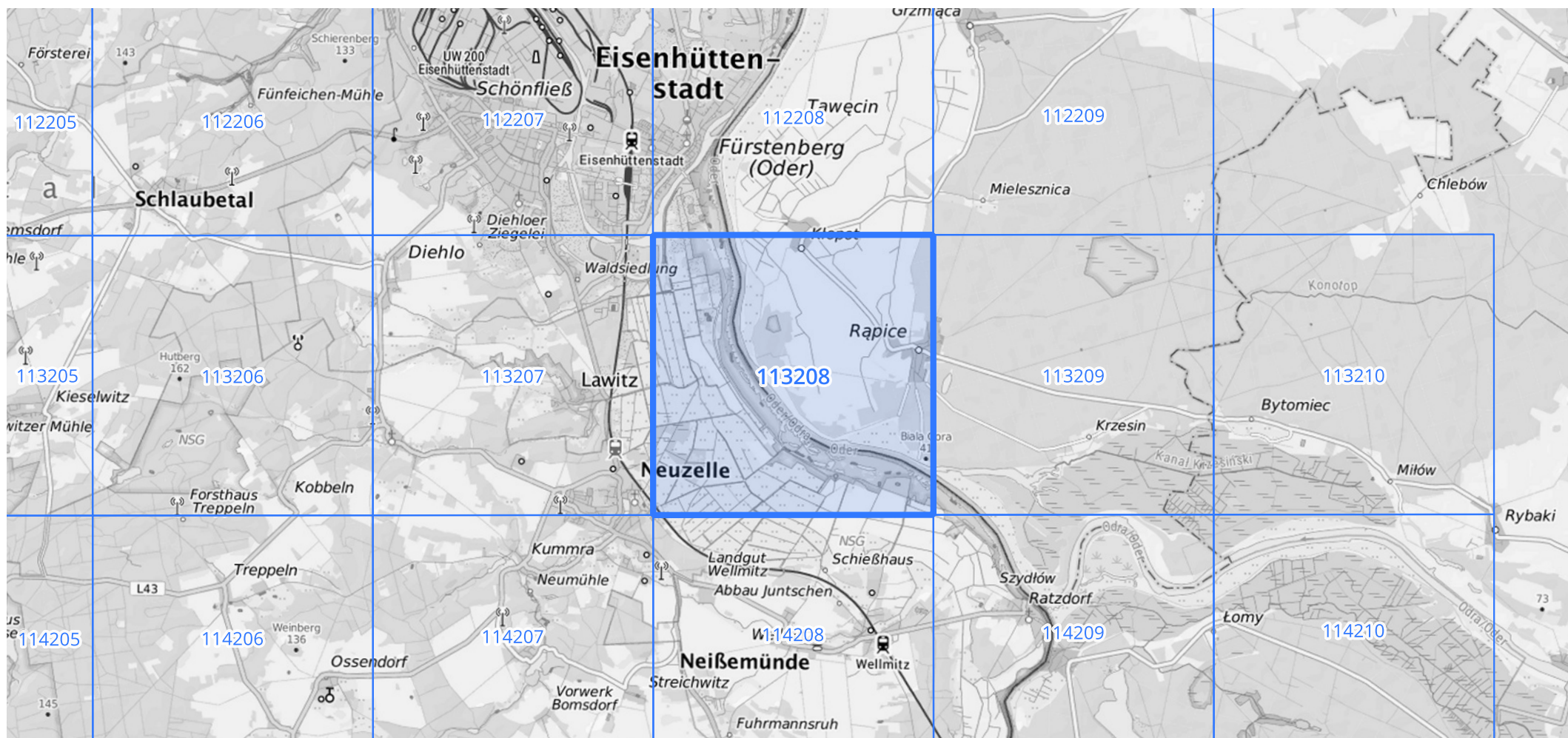
Siehe auch Anwendungshilfe zu KOSTRA-DWD-2020 des Deutschen Wetterdienstes.

Starkniederschlagshöhen und -spenden gemäß KOSTRA-DWD-2020

Rasterfeld 113208

(Zeile 113, Spalte 208)

Übersichtskarte des Rasterfeldes 113208, M 1 : 100 000



Quelle Rasterdaten: KOSTRA-DWD-2020 des Deutschen Wetterdienstes, Stand 12/2022.

Seite 3 von 3

Kartendarstellung: © Bundesamt für Kartographie und Geodäsie (2023), Datenquellen: https://sgx.geodatenzentrum.de/web_public/gdz/datenquellen/Datenquellen_TopPlusOpen.html

Für die Richtigkeit und Aktualität der Angaben wird keine Gewähr übernommen. Erstellt 01/2023.